

# 南海红树林内生真菌 ZH-4d 代谢产物研究

杨建香<sup>1,2\*</sup>, 邱声祥<sup>1</sup>, 余志刚<sup>3</sup>, 林永成<sup>3</sup>

(1. 中国科学院华南植物园植物资源保护与可持续利用重点实验室, 广州 510650;  
2. 桂林师范高等专科学校, 广西 桂林 541001; 3. 中山大学化学与化学工程学院, 广州 510275)

**[摘要]** 目的: 研究南海红树林内生真菌 ZH-4d 的代谢产物。方法: 采用反复硅胶柱色谱法、Sephadex LH-20 凝胶色谱法等进行分离纯化, 并通过理化常数测定和光谱分析鉴定其化学结构。结果: 从南海红树林内生真菌 ZH-4d 的培养液中分离得到 6 个代谢产物。经波谱解析, 分别为 citrinin(1), tenellic acid C(2), tenellic acid A(3), terretonin(4), echinulin(5), (E)-4,6-dimethoxy-3-[4-oxo-5-(prop-1-enyl)-4H-pyran-2-yl]-isobenzofuran-1(3H)-one(6)。初步药理活性显示化合物 1 对口腔癌细胞 KB, KBv200 的抗肿瘤活性分别为 0.08, 0.09 mmol·L<sup>-1</sup>。结论: 所有化合物均首次从南海红树林内生真菌 ZH-4d 中分离得到。

**[关键词]** 红树林; 内生真菌; 代谢产物

**[中图分类号]** R284.1    **[文献标识码]** A    **[文章编号]** 1005-9903(2014)09-0110-05

**[doi]** 10.13422/j.cnki.syfix.2014090110

## Metabolites of Mangrove Endophytic Fungus ZH-4d from South China Sea

YANG Jian-xiang<sup>1,2\*</sup>, QIU Sheng-xiang<sup>1</sup>, SHE Zhi-gang<sup>3</sup>, LIN Yong-cheng<sup>3</sup>

(1. Key Laboratory of Plant Resources Conservation and Sustainable Utilization, South China Botanical Garden, Chinese Academy of Sciences, Guangzhou 510650, China;  
2. Department of Chemistry and Engineering, Guilin Normal College, Guilin 541001, China;  
3. School of Chemistry and Chemical Engineering, Sun Yat-sen University, Guangzhou 510275, China)

**[Abstract]** **Objective:** To study secondary metabolites of mangrove endophytic fungus No ·ZH-4d from the south china sea. **Method:** The compounds were isolated by column chromatography and identified on the basis of physico-chemical constants and spectral analysis. **Result:** Six metabolites were obtained and elucidated as citrinin (1), tenellic acid C (2), tenellic acid A (3), terretonin (4), echinulin (5), (E)-4, 6-dimethoxy-3-[4-oxo-5-(prop-1-enyl)-4H-pyran-2-yl]-isobenzofuran-1(3H)-one (6). In the preliminary bioassay, 1 show strong inhibitory activity on the KB, KBv200 with IC<sub>50</sub> values of 0.08, 0.09 mmol·L<sup>-1</sup>, respectively. **Conclusion:** The six metabolites were obtained from endophytic fungus No ·ZH-4d for the first time.

**[Key words]** mangrove; endophytic fungus; metabolites

海洋占地球表面积的 71%, 海水占地球总水量的 90%, 其生物多样性远远超过了陆地生物的多样性, 长期以来, 国内外开发天然药物的重点一直

集中在陆生生物资源, 但是由于几十年长时间的开发, 从陆生生物次级代谢产物中发现新药或先导化合物的难度越来越大, 抗药性问题也日益严重, 新药的开发面临着严峻挑战<sup>[1]</sup>, 因此, 研究海洋微生物次级代谢产物成为当前研究的热点。

作为海洋微生物的主要组成部分, 海洋真菌越来越受到人们的重视, 尤其是海洋真菌中的红树林。红树林生长在热带、亚热带海岸潮间带, 其生活环境具有强还原性、强酸性、高含盐量和营养丰富等特点<sup>[2-3]</sup>, 蕴藏着丰富极具特色的微生物资源, 红树林真

**[收稿日期]** 20131127(004)

**[基金项目]** 国家自然科学基金项目(81373293); 国家 863 计划和支撑计划项目(201473948); 广西教育厅科研项目(201204LX497)

**[通讯作者]** \* 杨建香 博士, 副教授, 从事天然产物化学研究,  
Tel:020-37082553, E-mail:791011@126.com

菌是红树林微生物资源的主要类群,有丰富的多样性。从红树林上分离到的内生真菌可产生多种重要的次生代谢物,而且具有广泛的药理活性<sup>[4-5]</sup>。海洋微生物活性物质是新型药物的重要来源,其研究具有非常重要的意义<sup>[6-8]</sup>。

为寻找具有良好药理活性的微生物代谢产物,本研究组对采自广东珠海的红树林内生真菌 ZH-4d

代谢产物进行研究,从培养液中分离得到 6 个化合物(图 1):citrinin (1), tenellic acid C (2), tenellic acid A (3), terretonin (4), echinulin (5), (*E*)-4,6-dimethoxy-3-(4-oxo-5-(prop-1-enyl)-4H-pyran-2-yl)-isobenzofuran-1(3H)-one(6),初步药理活性显示化合物 1 对口腔癌细胞 KB, KBv200 抗肿瘤活性的 IC<sub>50</sub> 值分别为 0.08, 0.09 mmol·L<sup>-1</sup>。

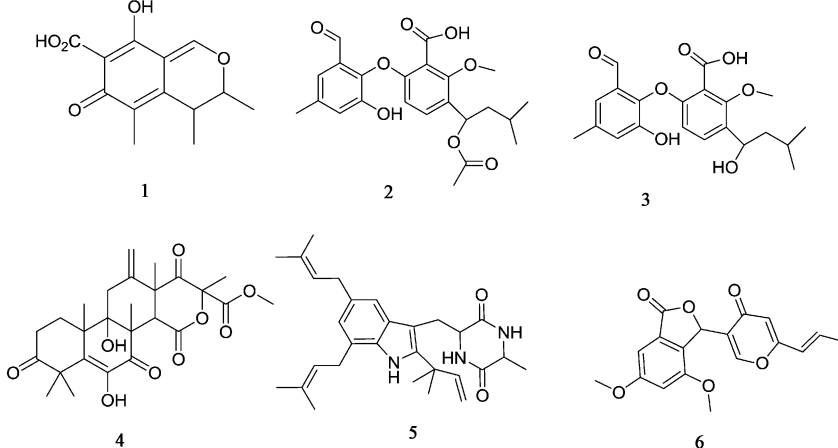


图 1 化合物 1~6 的化学结构

## 1 材料

**1.1 仪器和试剂** INOVA-500NB 型超导核磁共振谱仪和 INOVA-300NB 型核磁共振仪(美国 Varian 公司); VG ZAB-HS 型双聚焦质谱仪, Thermo DSQ 型电子轰击电离质谱仪, Thermo MAT95XP 型高分辨质谱仪; X-4 型数字显示显微熔点测定仪(北京泰克仪器有限公司)。所用试剂均为广州化学试剂厂生产,化学纯,溶剂经重蒸后使用。柱层析硅胶为青岛海洋化工厂生产的 200~300 目硅胶,硅胶 H, 薄层硅胶 GF254。

**1.2 菌种培养** 红树林内生真菌 ZH-4d 采自中国广东省珠海市,经鉴定为拟茎点霉菌(*Phomopsis sp.*),保存于中山大学化学与化学工程学院。发酵培养基为葡萄糖 10 g·L<sup>-1</sup>,蛋白胨 2 g·L<sup>-1</sup>,酵母膏 1 g·L<sup>-1</sup>,粗海盐 2 g·L<sup>-1</sup>,pH 7.0。500 mL 三角瓶内装培养基 300 mL, 1.25 × 10<sup>5</sup> Pa 灭菌 20 min 后接种 130 L, 在 25 ℃ 静置培养 40 d。分别收集发酵液和菌体。

## 2 方法与结果

**2.1 提取与分离** 140 L 发酵物过滤得菌体和发酵液,发酵液浓缩后用乙酸乙酯充分萃取,菌体用甲醇多次浸泡。提取浓缩物分别以体积比 1:2 拌硅胶(200~300 目)进行柱色谱,以石油醚-乙酸乙酯-甲醇进行梯度加压洗脱。收集各组分再经反复柱色

谱,制备薄层色谱,重结晶等方法进行纯化。从培养液粗提物(约 25 g)中分离得到化合物 1(8 mg), 2(8 mg), 3(14 mg), 4(7 mg), 5(12 mg), 6(5 mg)。

### 2.2 化合物光谱数据

**化合物 1** 橙黄色晶体, mp 179~180 ℃; EIMS: 250。<sup>1</sup>H-NMR (300 MHz, acetone-*d*<sub>6</sub>) δ: 15.95 (s, 1H), 15.20 (s, 1H), 8.28 (s, 1H), 4.82 (dq, 4.4, 6.7, 1H), 3.01 (dq, 4.4, 7.1, 1H), 2.07 (s, 3H), 1.38 (d, 6.7, 3H), 1.25 (d, 7.1, 3H); <sup>13</sup>C-NMR (75 MHz, acetone-*d*<sub>6</sub>) δ: 183.8 (C), 177.4 (C), 174.7 (C), 164.7 (CH), 140.6 (C), 122.5 (C), 107.4 (C), 99.9 (C), 82.5 (CH), 34.6 (CH), 18.0 (CH<sub>3</sub>), 17.7 (CH<sub>3</sub>), 8.9 (CH<sub>3</sub>)。

**化合物 2** 白色粉末, ESI-MS (*m/z*): 429 [M - 1]<sup>-</sup>。<sup>1</sup>H-NMR (300 MHz, DMSO-*d*<sub>6</sub>) δ: 7.33 (d, 8.6, 1H), 6.42 (d, 8.6, 1H), 6.08 (dd, 9.1, 4.8, 1H), 1.72 (ddd, 13.0, 9.1, 5.6, 1H), 1.45 (ddd, 13.0, 8.0, 4.8, 1H), 1.60 (m, 1H), 0.91 (s, 3H), 0.90 (s, 3H), 3.98 (3H, s), 2.00 (s, 3H), 7.13 (m, 1H), 7.20 (m, 1H), 2.30 (s, 3H), 10.19 (s, 1H)。<sup>13</sup>C-NMR (DMSO-*d*<sub>6</sub>, 75 MHz) δ: 120.0 (C), 153.4 (C), 128.7 (C), 128.4 (CH), 111.2 (CH), 154.2 (C), 167.0 (C), 67.9 (CH), 44.7 (CH<sub>2</sub>), 24.3 (CH), 21.7 (CH<sub>3</sub>), 22.7 (CH<sub>3</sub>), 61.5

(CH<sub>3</sub>)<sub>2</sub>, 169.7(C), 20.7(CH<sub>3</sub>), 129.4(C), 143.4(C), 151.1(C), 124.5(CH), 135.7(C), 120.0(CH), 20.4(CH<sub>3</sub>), 189.7(CH)。

**化合物3** 无色针状结晶, mp 175~177 °C。<sup>1</sup>H-NMR(CDCl<sub>3</sub>, 400 MHz)δ: 7.33(d, 8.7, 1H), 6.44(d, 8.7, 1H), 4.54(dd, 9.2, 3.7, 1H), 1.64(ddd, 14.0, 9.2, 5.0, 1H), 1.35(ddd, 14.0, 8.0, 3.7, 1H), 1.78(m, 1H), 0.94(d, 6.6, 3H), 0.91(d, 6.6, 3H), 3.91(s, 3H), 3.17(s, 3H), 7.12(m, 1H), 7.24(m, 1H), 2.28(s, 3H), 10.03(s, 1H)。<sup>13</sup>C-NMR(CDCl<sub>3</sub>, 125 MHz)δ: 117.0(C), 155.5(C), 132.1(C), 129.4(CH), 111.6(CH), 156.7(C), 169.0(C), 75.5(CH), 47.3(CH<sub>2</sub>), 25.2(CH), 23.7(CH<sub>3</sub>), 22.2(CH<sub>3</sub>), 63.4(CH<sub>3</sub>), 57.1(CH<sub>3</sub>), 130.8(C), 141.4(C), 149.8(C), 124.9(CH), 137.5(C), 122.2(CH), 21.3(CH<sub>3</sub>), 190.3(CH)。

**化合物4** 淡黄色针状晶体。<sup>1</sup>H-NMR(500 MHz, acetone-d<sub>6</sub>)δ: 7.07(s, 1H, OH), 5.26(brt, 1H), 5.00(brt, 1H), 3.89(s, 1H, OH), 3.79(s, 1H), 3.71(s, 3H), 3.09(dt, 1H, J=14.5, 1.5), 2.70(dd, 1H, J=19.0, 8.5 Hz), 2.50(d, 1H, J=14.5 Hz), 2.49(dd, 1H, J=8.5, 2.5 Hz), 2.33(m, 1H), 2.05(overlap, 1H), 1.94(s, 3H), 1.60(s, 3H), 1.45(s, 3H), 1.43(s, 6H), 1.23(s, 3H)。<sup>13</sup>C-NMR(125 MHz, Acetone-d<sub>6</sub>)δ: 215.1(C), 202.4(C), 198.9(C), 170.1(C), 169.5(C), 142.6(C), 141.0(C), 132.8(C), 116.1(CH<sub>2</sub>), 85.9(C), 79.9(C), 54.7(CH<sub>3</sub>), 54.2(C), 51.4(C), 49.3(C), 46.0(CH), 45.2(C), 36.2(CH<sub>2</sub>), 34.2(CH<sub>2</sub>), 29.9(CH<sub>2</sub>), 25.3(CH<sub>3</sub>), 24.9(CH<sub>3</sub>), 22.8(CH<sub>3</sub>), 22.7(CH<sub>3</sub>), 20.7(CH<sub>3</sub>), 19.9(CH<sub>3</sub>)。EI-MS: 488 [M<sup>+</sup>] for C<sub>26</sub>H<sub>32</sub>O<sub>9</sub>。

**化合物5** 白色晶体, mp 224~226 °C, HREI-MS: m/z 461.303 7 [M]<sup>+</sup> (cal. for C<sub>29</sub>H<sub>39</sub>O<sub>2</sub>N<sub>3</sub> 461.303 7), EI-MS: m/z 461 [M]<sup>+</sup>, 334, 319, 278, 194, 69.<sup>1</sup>H-NMR(400 MHz, DMSO-d<sub>6</sub>)δ: 10.53(s, 1H), 8.13(brs, 1H), 6.87(brs, 1H), 7.07(d, 2.4, 1H), 6.65(d, 2.4, 1H), 6.22(dd, 17.0, 10.5, 1H), 5.16(brt, 6.4, 1H), 4.89(dd, 5.2, 5.5, 1H), 5.07(d, 14.0, 1H), 5.06(d, 11.5, 1H), 4.00(dd, 3.7, 11.0, 1H), 3.83(brq, 7.0, 1H), 3.68(dd, 17.2, 5.5, 1H), 3.63(dd,

17.2, 5.2, 1H), 3.27(brd, 6.4, 2H), 3.46(dd, 14.6, 3.7, 1H), 3.20(dd, 11.0, 14.6, 1H), 1.71(s, 3H), 1.62(s, 3H), 1.67(s, 3H), 1.66(s, 3H), 1.50(s, 3H), 1.47(s, 3H), 1.35(d, 7.1, 3H)。<sup>13</sup>C-NMR(100 MHz, DMSO-d<sub>6</sub>)δ: 167.9(C), 167.4(C), 146.8(CH), 141.4(C), 132.2(C), 131.7(C), 131.5(C), 130.3(C), 129.3(C), 124.84(CH), 123.6(C), 122.8(CH), 121.0(CH), 114.6(CH), 110.9(CH<sub>2</sub>), 105.1(C), 55.6(CH), 50.4(CH), 39.0(C), 34.2(CH<sub>2</sub>), 31.2(CH<sub>2</sub>), 29.0(CH<sub>2</sub>), 27.9(CH<sub>3</sub>), 27.9(CH<sub>3</sub>), 25.4(CH<sub>3</sub>), 25.4(CH<sub>3</sub>), 20.6(CH<sub>3</sub>), 17.6(CH<sub>3</sub>), 17.5(CH<sub>3</sub>)。

**化合物6** 白色粉末, mp 163~164 °C。<sup>1</sup>H-NMR spectrum(Acetone-d<sub>6</sub>, 300 MHz)δ: 7.42(1H, d, J=0.6), 6.96(1H, d, J=2.0), 6.67(1H, d, J=2.0), 6.59(1H, dqd, J=15.6, 6.9, 0.4), 6.43(1H, d, J=0.6), 6.14(1H, dd, J=0.5, 0.4), 6.06(1H, dq, J=15.6, 1.7), 3.87(3H, s), 3.78(3H, s), 1.92(3H, ddd, J=6.9, 1.7, 0.5)。<sup>13</sup>C-NMR spectrum(Acetone-d<sub>6</sub>, 75 MHz)δ: 177.1(C), 169.8(C), 162.9(C), 162.0(C), 154.7(C), 153.8(CH), 135.8(CH), 129.2(C), 127.5(C), 123.3(C), 123.0(CH), 112.7(CH), 105.0(CH), 99.0(CH), 73.5(CH), 56.0(CH<sub>3</sub>), 55.8(CH<sub>3</sub>), 18.6(CH<sub>3</sub>)。Mass spectrum(EI, 70 eV, m/z, Irel, %): 328(100.0), 313(10.6), 285(30.6), 271(15.6), 269(38.1), 260(41.9), 259(23.1), 241(11.3), 231(15.6), 217(11.9), 165(23.1), C<sub>18</sub>H<sub>16</sub>O<sub>6</sub>。

**2.3 细胞毒活性实验** 采用MTT法<sup>[9]</sup>测定了化合物1对人体口腔癌KB, KBv200的抗肿瘤活性。

### 3 结果与讨论

**化合物1** EI-MS显示相对分子质量为250。其氢谱很简单, 除δ8.28, 15.20, 15.95外, 剩余氢信号都集中高场区。其中δ8.28的氢信号为单峰可能是连氧或者连氮的双键氢, 而δ15.20, 15.95肯定羟基信号峰。在高场区, δ4.82, 3.01的信号峰为dq峰, 从其偶合常数看应该是分别连有甲基的CH。其余3个均为甲基峰。其一维碳谱显示有13个碳, δ183.8可能为不饱和的酮羰基碳信号, δ177.4可能为羧基碳的信号, 而低场区其他6个碳为芳香碳。在高场区有5个碳信号。与文献对比<sup>[10-11]</sup>确定化合物1为citrinin。citrinin是一种真

菌毒素,广泛存在于各种真菌中,由于 citrinin 能够抑制真菌的生长,还有能致癌,致白血病等毒效,因此一直到现在还是食品,医药,生物等领域的研究热点。

**化合物 2** ESI-MS( - ) 显示  $m/z$  429 [M - 1]<sup>-</sup>,结合核磁数据,得出该化合物分子式为 C<sub>23</sub>H<sub>26</sub>O<sub>8</sub>,不饱和度为 Ω = 11,表明分子结构中含有苯环骨架。由<sup>1</sup>H-NMR 可知,δ 7.33(1H, d, 8.6), 6.42(1H, d, 8.6)为苯环上相邻的 2 个氢;δ 7.13(1H, m), 7.20(1H, m)为苯环上间位的 2 个氢,结合<sup>13</sup>C-NMR 中的 12 个芳香碳,可以看出分子结构中存在 1,2,3,4-四取代和 1,2,3,5-四取代的两个苯环结构。从<sup>13</sup>C-NMR(包含 DEPT 谱)中还可以看出,有一个醛基(CH, δ 189.7),2 个羰基(δ 169.7, 167.0),5 个甲基,其中有 1 个为连氧的甲基(δ 61.5),1 个 CH<sub>2</sub>,2 个 CH,其中有 1 个 CH 为连氧的 CH(δ 67.9),刚好满足 23 个碳原子,11 个不饱和度,结合所有核磁数据,与文献[12]对照,确定化合物为已知物 tenellic acid C。

**化合物 3** ESI-MS( - ) 显示  $m/z$  401[M - 1]<sup>-</sup>,故相对分子质量为 402,易溶于三氯甲烷、丙酮,微溶于甲醇,不溶于水。经<sup>1</sup>H-NMR,<sup>13</sup>C-NMR,2D-NMR,MS 等分析鉴定其结构,结合核磁数据分析,得到化合物 3 的分子式为 C<sub>22</sub>H<sub>26</sub>O<sub>7</sub>,不饱和度为 Ω = 10。不同的地方在于化合物 3 比化合物 2 少了 1 个羰基及其相关,而多了 1 个直接连氧的甲基(δ = 57.1)。结合其他核磁数据,并与文献数据对比<sup>[12]</sup>,确定化合物 3 为已知化合物 tenellic acid A。由 ESI-MS 显示化合物 3 与化合物 2 的相对分子质量刚好相差 28,就是失去 1 个 C = O 的相对分子质量的差值,进一步证实了推论的结果。另外,在 ESIMS 谱图中, $m/z$  401[M - 1]<sup>-</sup>,357,两个片断相差 44,可以看出分子中应该有羧基。

**化合物 4** 淡黄色针状晶体。EI-MS 显示分子离子峰 488,结合核磁数据,可得化合物 4 的分子式为 C<sub>26</sub>H<sub>32</sub>O<sub>9</sub>,是一个萜类化合物。<sup>13</sup>C-NMR 和 DEPT 谱显示化合物有 3 个酮羰基,2 个酯羰基,6 个甲基,2 个烯基,1 个甲氧基,2 个连氧的叔碳及多个脂肪的亚甲基,次甲基,与文献[13]数据对照后确定化合物的结构是 terretonin,该化合物是一个细胞毒素。

**化合物 5** HREI-MS 显示其相对分子质量为奇数 461.303 7(cal. for C<sub>29</sub>H<sub>39</sub>O<sub>2</sub>N<sub>3</sub> 461.303 7),得出分子式为 C<sub>29</sub>H<sub>39</sub>O<sub>2</sub>N<sub>3</sub>,计算不饱和度 Ω = 12。

<sup>13</sup>C-NMR 及 DEPT 谱图显示化合物 5 分子结构

中一共有 29 个碳,其中 δ 167.9,167.4 显然是酰胺或酯的羰基碳信号;<sup>sp</sup><sup>2</sup>杂化的碳原子共有 14 个,其中 δ 110.9(CH<sub>2</sub>)显然是末端烯的碳信号。所以,根据不饱和度计算,化合物 5 分子结构中应该具有 3 个环。在<sup>1</sup>H-NMR 中,δ 10.53,8.13,6.87 的单峰可能是连 N 上的质子信号;δ 7.07,6.65 的质子信号,显示为苯环的 2 个氢;δ 6.22,5.07,5.06 为单取代双键氢的信号;δ 5.16,4.89 为 2 个-CH 质子信号;δ 3.27,3.68,3.63 为 2 个-CH<sub>2</sub> 的质子信号;δ 1.35 为与-CH 相连的甲基质子信号;δ 1.71,1.62,1.67,1.66,1.50,1.47 为 6 组甲基质子信号;δ 3.46,3.20 为与-CH 相连的质子信号。可以推测出结构中存在 2 个 2-异戊烯取代基。根据其分子式及 NMR 数据,并与文献[14]对比,确定化合物 5 的结构为 echinulin。

**化合物 6** 无色粉末固体,mp 163 ~ 164 °C。EIMS 显示分子离子峰 328,可知分子式为 C<sub>18</sub>H<sub>16</sub>O<sub>6</sub>。<sup>1</sup>H-NMR 显示 6 个不饱和氢[δ<sub>H</sub> 7.42(1H, d, J = 0.6 Hz), 6.96(1H, d, J = 2.0 Hz), 6.67(1H, d, J = 2.0 Hz), 6.59(1H, dq, J = 15.6, 6.9, 0.4 Hz), 6.43(1H, d, J = 0.6 Hz), 6.06(1H, dq, J = 15.6, 1.7 Hz)],2 个连在芳香环上的甲氧基[δ<sub>H</sub> 3.87(3H, s), 3.78(3H, s)],1 个连氧的脂肪 CH[δ<sub>H</sub> 6.14(1H, dd, J = 0.5, 0.4)],以及 1 个连在不饱和碳上的甲基[δ<sub>H</sub> 1.92(3H, ddd, J = 6.9, 1.7, 0.5)]。<sup>13</sup>C-NMR 显示了一个酮基呋喃苯环,一个酮基吡喃以及一个烯丙基,并证明了<sup>1</sup>H-NMR 的结论。结合文献[15],得到化合物 6 的结构(E)-4,6-dimethoxy-3-(4-oxo-5-(prop-1-enyl)-4H-pyran-2-yl)-isobenzofuran-1(3H)-one。

## [参考文献]

- [1] 王幸,吴文惠,陈志华,等. 海洋微生物次级代谢产物的结构特征和生物活性的研究进展[J]. 中国天然药物,2010,8(4):309.
- [2] 林鹏. 中国红树林研究进展[J]. 厦门大学学报:自然科学版,2001,40(2):592.
- [3] Lin Y C, Wu X Y, Feng S, et al. A novel N-cinnamoylcyclopeptide containing an allenic ether from the fungus *Xylaria* sp. (#2508) from the South China Sea [J]. Tetrahedron Lett, 2001, 42:449.
- [4] 王友绍,何磊,王清吉,等. 药用红树植物的化学成分及其药理研究进展 [J]. 中国海洋药物, 2004, 98(2):26.
- [5] 赵亚,郭跃伟. 真红树林植物化学成分及生物活性研究概况 [J]. 中国天然药物, 2004, 2(3):135.

# 乌蕨乙酸乙酯部位化学成分

卢海啸, 李家洲\*, 农秀珍, 符毓夏

(玉林师范学院, 广西 玉林 537000)

[摘要] 目的:研究乌蕨乙酸乙酯部位的化学成分。方法:利用硅胶柱色谱及 Sephadex LH-20 柱色谱对乌蕨乙酸乙酯部位进行分离、纯化。通过理化性质和波谱数据对化合物进行结构解析。结果:从乌蕨的乙酸乙酯部位分离、纯化得到 13 个化合物, 分别鉴定为: $\beta$ -谷甾醇(1), 4-羟基-2, 6-二氧甲基-苯甲酸(2), 胡萝卜苷(3), 芹菜素(4), 芹菜素-7-O- $\beta$ -D-吡喃葡萄糖苷(5), 4-羟基-3-甲氧基苯甲酸(6), 丁香酸(7), 原儿茶醛(8), 2,5-二羟基苯甲酸(9), 原儿茶酸(10), 秦皮素(11), 6-氯-芹菜素-7-O- $\beta$ -D-吡喃葡萄糖苷(12), 牡荆素(13)。结论:化合物 6, 12 为首次从该属中分离得到。

[关键词] 乌蕨; 乙酸乙酯部位; 化学成分

[中图分类号] R284.1 [文献标识码] A [文章编号] 1005-9903(2014)09-0114-04

[doi] 10.13422/j.cnki.syfix.2014090114

## Chemical Constituents of Ethyl Acetate Extract from *Stenoloma chusanum*

LU Hai-xiao, LI Jia-zhou\*, NONG Xiu-zhen, FU Yu-xia

(Yulin Normal University, Yulin 537000, China)

[Abstract] Objective: To study the chemical constituents of ethyl acetate extracts from

[收稿日期] 20130606(009)

[基金项目] 玉林师范学院重点科研项目(2011YJZD18); 广西大学生创新创业训练计划项目(20131039)

[第一作者] 卢海啸, 博士, 从事中药与天然药物活性成分及药效筛选研究, Tel: 15907758504, E-mail: luhaixiao76@163.com

[通讯作者] \*李家洲, 教授, 从事药理学及动物生理学研究, Tel: 13907750778, E-mail: ljz5810@163.com

- [6] Muhammad S, Muhammad S A, Shafqat H, et al. Marine natural products of fungal origin [J]. Nat Prod Rep, 2007, 24:1142.
- [7] Tadeusz M, Doralyn S D, Sarah L L, et al. Drug development from marine natural products [J]. Nat Rev, 2009, 8:69.
- [8] Blunt J W, Copp B R, Munro M H G, et al. Marine natural products [J]. Nat Prod Rep, 2006, 23(1):26.
- [9] Mosmann T. Rapid colorimetric assay for cellular growth and survival application to proliferation and cytotoxicity assays [J]. J Immunol Methods, 1983, 65(1/2):55.
- [10] Marinho A M R, Rodrigues-Filho E, Moitinho M L, et al. Biologically active polyketides produced by *penicillium janthinellum* isolated as an endophytic fungus from fruits of *Melia azedarach* [J]. J Braz Chem Soc, 2005, 16:280.
- [11] Barber J, Cornford J L, Howard T D, et al. The structure of citrinin *in vivo* [J]. J Chem Soc: Perkin Trans I, 1987, 1:2743.
- [12] Hyuncheol Oh, Tae Oh K, James B G, et al. Tenellic Acids A-D: New bioactive diphenyl ether derivatives from the aquatic fungus *dendrospora tenella* [J]. J Nat Prod, 1999, 62(4):580.
- [13] Springer J P, Dorner J W, Cole R J, et al. Terretonin, a toxic compound from *Aspergillus terreus* [J]. J Org Chem, 1979, 44(26):4852.
- [14] Fujimoto H, Fujimaki T, Okuyama E, et al. Immunomodulatory constituents from an ascomycete, *microascus tardifaciens* [J]. Chem Pharm Bull, 1999, 47:1426.
- [15] Fuska J, Uhrin D, Proksa B, et al. The structure of vermistain, a new metabolite from *Penicillium vermiculatum* [J]. J Antibiot, 1986, 39(11):1605.

[责任编辑 邹晓翠]